



## مدیریت آب و آبیاری

دوره ۱۱ ■ شماره ۴ ■ زمستان ۱۴۰۰

صفحه‌های ۶۹۸-۶۸۳

DOI: 10.22059/jwim.2021.329149.911

مقاله پژوهشی:

### حل تحلیلی معادله انتقال آلودگی با ضرایب متغیر در رودخانه با استفاده از تبدیل لاپلاس

محمدجواد فردادی شیل‌سر<sup>۱</sup>، مهدی مظاهری<sup>۲</sup>، جمال محمد ولی سامانی<sup>۳</sup>

۱. دانشجوی کارشناسی ارشد، گروه مهندسی و مدیریت آب، دانشکده کشاورزی، دانشگاه تربیت مدرس، تهران، ایران.

۲. دانشیار، گروه مهندسی و مدیریت آب، دانشکده کشاورزی، دانشگاه تربیت مدرس، تهران، ایران.

۳. استاد، گروه مهندسی و مدیریت آب، دانشکده کشاورزی، دانشگاه تربیت مدرس، تهران، ایران.

تاریخ پذیرش مقاله: ۱۴۰۰/۰۷/۳۰

تاریخ دریافت مقاله: ۱۴۰۰/۰۵/۳۰

#### چکیده

رودخانه‌ها یکی از مهم‌ترین منابع طبیعی آب در جهان به‌شمار می‌روند. مدل‌سازی انتقال آلودگی در رودخانه‌ها توسط معادله دیفرانسیل جزئی جابه‌جایی-پراکندگی-واکنش (ADRE) انجام می‌گیرد. در پژوهش حاضر، با استفاده از تبدیل لاپلاس که یک ابزار قدرتمند و مفید در حل معادلات دیفرانسیل می‌باشد، پاسخ تحلیلی معادله ADRE در دامنه محدود با ضرایب متغیر به‌ازای شرایط مرزی بالادست و پایین‌دست دیریکله در رودخانه به‌دست آمد. به‌منظور استفاده از حل تحلیلی موجود در این پژوهش، سه مثال ارائه شد که در هرکدام رودخانه مد نظر، به بازه‌های دو، چهار و هشت قسمتی تقسیم شده است، که ضمن متغیربودن پارامترهای جریان، آلاینده و هندسه رودخانه در هر سه مثال، برای هرکدام از مثال‌ها، دقت حل تحلیلی موجود در زمانی که تقسیم‌بندی بازه‌ها بیشتر می‌شود در مقایسه با حل عددی بررسی شده است. با مشخص کردن ماتریس‌های سرعت، ضریب پراکندگی، سطح مقطع و ... به‌عنوان ورودی مسأله، ماتریس انتشار محاسبه و به‌دنبال آن دستگاه معادلات پیچیده‌ای ایجاد می‌شود که پیچیدگی کار را دوچندان می‌کند. با حل دستگاه معادلات مذکور، مقدار غلظت آلاینده محاسبه می‌شود. به‌منظور اعتبارسنجی حل تحلیلی موجود، از حل عددی استفاده می‌شود، نتایج نشان داد که هرچه تعداد تقسیم‌بندی‌های رودخانه بیشتر باشد، دقت حل بالاتر می‌رود و دو حل تحلیلی و عددی دارای انطباق خوبی با یکدیگر خواهند بود. با توجه به توانایی و عملکرد حل تحلیلی موجود، می‌توان اذعان داشت که حل تحلیلی موجود در این پژوهش می‌تواند به‌عنوان ابزاری جهت صحت‌سنجی و اعتبارسنجی حل‌های عددی و سایر حل‌های تحلیلی برای ضرایب متغیر معادله مورد استفاده قرار گیرد.

**کلیدواژه‌ها:** تابع توزیع غلظت، دامنه محدود، مدل‌سازی ریاضی، معادله جابه‌جایی-پراکندگی-واکنش.

### Analytical solution of the pollution transport equation with variable coefficients in river using the Laplace Transform

Mohammad Javad Fardadi Shilsar<sup>1</sup>, Mehdi Mazaheri<sup>2</sup>, Jamal Mohammad Vali Samani<sup>3</sup>

1. Master Student, Department of Water Engineering and Management, Faculty of Agriculture, Tarbiat Modares University, Tehran, Iran.

2. Associate Professor, Department of Water Engineering and Management, Faculty of Agriculture, Tarbiat Modares University, Tehran, Iran.

3. Professor, Department of Water Engineering and Management, Faculty of Agriculture, Tarbiat Modares University, Tehran, Iran.

Received: August 21, 2021

Accepted: October 22, 2021

#### Abstract

Rivers are one of the most important natural water resources in the world. Pollution transport modeling in rivers is performed by the partial advection-dispersion-reaction equation (ADRE). In the present study, using the Laplace transform, which is a powerful and useful tool in solving differential equations, the analytical solution of the ADRE equation was obtained in a finite domain with variable coefficients for the upstream and downstream Dirichlet boundary conditions and the initial zero condition in the river. To use the analytical solution in this study, three examples are presented, each of which, the river are divided into two, four, and eight parts, which, while the parameters of flow, pollution, and river geometry are variable in all three examples, for each of the examples, the accuracy of the analytical solution available when the segmentation of the intervals increases as compared to the numerical solution. By specifying the matrices of velocity, dispersion coefficient, cross-section, etc. as input to the problem, the diffusion matrix is calculated and, consequently, a complex system of equations is created that doubles the complexity of the work. The amount of pollutant concentration is calculated by solving the system of the above equations. The numerical solution is used to validate the existing analytical solution, the results showed that the greater the number of river divisions, the higher the accuracy of the solution, and the two analytical and numerical solutions will be well compatible with each other. Given the ability and performance of the existing analytical solution, it can be acknowledged that the analytical solution in this study can be used as a tool to validate and verification numerical solutions and other analytical solutions for the coefficients of the equation.

**Keywords:** Advection-dispersion-reaction equation, Concentration distribution function, Finite domain, Mathematical modeling.

## مقدمه

رودخانه‌ها به‌عنوان یکی از مهم‌ترین منابع طبیعی آب در جهان به‌شمار می‌روند که تمامی فعالیت‌های بشر به آن‌ها وابسته است، لذا امروزه این منبع طبیعی در معرض انواع آلودگی‌های شیمیایی و بیولوژیکی قرار دارد (Hemond & Fechner, 2014)، بنابراین می‌توان گفت که رودخانه‌ها به‌عنوان ارزشمندترین اما در عین حال پر سوء استفاده‌ترین منابع آب روی زمین به‌شمار می‌روند (Smits et al., 2000).

اولین و مهم‌ترین فرایند انتقال آلودگی در رودخانه‌ها از یک مکان به مکان دیگر توسط جریان آب، فرایند جابه‌جایی<sup>۱</sup> می‌باشد (Gulliver, 2007). از فرایند مهم دیگر در بحث انتقال آلودگی در رودخانه، فرایند پراکندگی<sup>۲</sup> بوده که توسط فیک<sup>۳</sup> ثابت شده است (Gulliver, 2007). در رودخانه‌ها عموماً فرایند جابه‌جایی در بحث انتقال آلودگی غالب است، اما فرایند پراکندگی نیز اثرگذار می‌باشد (Chapra, 2008). معادله حاکم بر انتقال و انتشار آلودگی در رودخانه‌ها، معادله جابه‌جایی-پراکندگی-واکنش<sup>۴</sup> (ADRE) بوده که از نوع معادلات دیفرانسیل سهموی غیرهمگن، خطی و مرتبه دوم می‌باشد و از ترکیب فرایندهای جابه‌جایی و پراکندگی طبق قانون اول فیک، برای حالت یک‌بعدی، جریان غیریکنواخت و غیر ماندگار با ضرایب متغیر به‌صورت معادله (۱) بیان می‌شود (Chapra, 2008):

$$\frac{\partial(Ac)}{\partial t} = -\frac{\partial(Qc)}{\partial x} + \frac{\partial}{\partial x} \left( AD \frac{\partial c}{\partial x} \right) - AKc + AS \quad (1)$$

در رابطه (۱)،  $c = c(x, t)$  غلظت آلودگی در مکان  $x$

و زمان  $t$ ،  $A$  سطح مقطع جریان،  $Q$  دبی جریان رودخانه،  $D$  ضریب پراکندگی در راستای  $x$ ،  $K$  ضریب زوال واکنش و  $S = S(x, t)$  ترم منبع می‌باشد. با حل معادله (۱) تابع توزیع غلظت آلودگی به‌دست می‌آید که می‌توان با استفاده از آن مقدار غلظت را در هر مکان و زمان محاسبه نمود. به‌طورکلی می‌توان گفت که تمامی معادلات

دیفرانسیل را می‌توان با استفاده از روش‌های عددی حل نمود، اما گاهی اوقات استفاده از روش‌های عددی در مقایسه با حل‌های تحلیلی بسیار هزینه‌بر و وقت‌گیر می‌باشد، هم‌چنین حل‌های عددی همواره به‌دلیل محدودیت‌های انتخاب گام زمانی و مکانی مناسب و بررسی شرط پایداری دارای خطا هستند. این در حالی است که این محدودیت‌ها در حل‌های تحلیلی وجود ندارد و حل‌های تحلیلی به‌دلیل دقت بالا می‌تواند به‌عنوان ابزاری جهت صحت‌سنجی حل‌های عددی به‌کار رود (Guerrero et al., 2009). به‌منظور یافتن پاسخ تحلیلی معادله (ADRE) در حالت یک‌بعدی، دو بعدی و سه‌بعدی، پژوهش‌گران بسیاری توانستند روش‌های متفاوتی ارائه دهند، که بیش‌تر آن‌ها مبتنی بر فرض‌هایی نظیر شرط مرزی ساده و یا متغیر، وجود یا عدم وجود ترم منبع برای معادله، ضرایب ثابت و یا متغیر معادله (شامل، سرعت، سطح مقطع جریان، ضریب پراکندگی) می‌باشند. لازم به ذکر است که، اکثر این راه‌حل‌های تحلیلی ارائه‌شده توسط پژوهش‌گران در محیط متخلخل بوده و این حل‌ها در محیط رودخانه برای ضرایب ثابت معادله محدود و برای ضرایب متغیر بسیار محدود می‌باشد.

در زمینه حل تحلیلی معادله انتقال آلودگی در محیط متخلخل با ضرایب ثابت، پژوهش‌گرانی توانستند معادله مذکور را در حالت یک‌بعدی، دو بعدی و سه بعدی با استفاده از تابع گرین<sup>۵</sup> با صرف‌نظرکردن از گرادیان سرعت در راستای عرض و عمق حل نمایند (Park & Zhan, 2001). در پژوهشی که توسط Wang & Wu (2009) با استفاده از تابع گرین انجام شد، معادله سه‌بعدی ADE با ضرایب ثابت و با در نظر گرفتن منبع آلاینده برابر با یک مقدار ثابت و شرط مرزی ورودی ثابت در محیط متخلخل حل شد. یکی دیگر از روش‌های حل تحلیلی معادلات دیفرانسیل استفاده از روش تبدیل انتگرالی

در حل معادله انتقال آلودگی در محیط متخلخل بهره برد. در پژوهشی، Yang *et al.* (2019) با استفاده از تبدیل معکوس فوریه<sup>۹</sup> و توزیع گسترده گاوسی<sup>۱۰</sup> معادله یک‌بعدی انتقال آلودگی را با مشتق سازگار توسعه دادند و به معادله CADE<sup>۱۱</sup> تبدیل کردند و نشان دادند که حل تحلیلی خود برای توصیف دقیق سیال و انتقال املاح دقت بالایی دارد.

به‌منظور حل تحلیلی معادله ADRE با ضرایب متغیر در محیط متخلخل، روش‌های تحلیلی قدرتمندی نظیر تابع گرین، تبدیل فوریه و تبدیل لاپلاس وجود دارند که می‌توانند مدل‌سازی انتقال آلودگی را در محیط متخلخل با ضرایب متغیر انجام دهند. در این راستا، در پژوهشی، با استفاده از تابع گرین، پاسخ معادله یک‌بعدی ADRE با ضرایب متغیر در یک دامنه نامحدود، در حالی در محیط متخلخل به‌دست آمد که سرعت و ضریب پراکندگی به‌صورت تابعی از مکان و زمان در نظر گرفته و با مدل عددی اعتبارسنجی شد (Sanskritayn *et al.*, 2021). در پژوهشی دیگر، Sanskritayn *et al.* (2017) با ترکیب روش تابع گرین و تغییر متغیر، معادله انتقال آلودگی را با در نظر گرفتن الگوی آلودگی نقطه‌ای و سرعت و ضریب پراکندگی نقطه‌ای تابعی از زمان و مکان حل کردند. از کاربردهای دیگر روش تابع گرین می‌توان به توانایی آن در حل معادلات دوی‌بعدی ADRE با ضرایب متغیر و نشان‌دادن اثر سرعت جریان و ضریب پراکندگی با الگوی آلودگی نقطه‌ای در آب‌های زیرزمینی اشاره نمود (Sanskritayn *et al.*, 2018). در پژوهش دیگر، Bharati *et al.* (2019) با در نظر گرفتن ضریب پراکندگی وابستگی مکانی در یک چارچوب هندسی و اقلیدسی، اقدام به حل معادله یک‌بعدی انتقال آلودگی با استفاده از تبدیل فوریه در آب زیرزمینی نمودند. همچنین به‌منظور کاربرد روش تبدیل لاپلاس، طی دو پژوهشی که توسط

تعمیم‌یافته<sup>۶</sup> (GITT) است که قادر است معادلات دیفرانسیل پیچیده، با شرایط مرزی پیچیده و دامنه حل را حل نماید (Cotta *et al.*, 2016). در پژوهشی، معادله یک‌بعدی ADE را با ضرایب ثابت و با در نظر گرفتن شرط مرزی رایین در بالادست با الگوی زمانی دلخواه با روش تبدیل انتگرالی تعمیم‌یافته در محیط متخلخل به‌صورت تحلیلی حل نمودند و انتشار آلاینده‌های مربوط به واکنش‌های زنجیره‌ای را بررسی کردند (Chen *et al.*, 2012). Kumar & Sudheendra (2018) طی پژوهشی، معادله یک‌بعدی انتقال آلودگی را با در نظر گرفتن شرط مرزی نوع اول و سوم در بالادست به‌صورت الگوی زمانی تابع نمایی با ترکیب روش تبدیل لاپلاس<sup>۷</sup> و تبدیل انتگرالی GITT به‌صورت تحلیلی حل کردند. همچنین می‌توان اذعان داشت که روش تبدیل لاپلاس در بحث کاربرد آن در زمینه حل معادله یک‌بعدی انتقال آلودگی مدنظر بسیاری از پژوهش‌گران نظیر Simpson & Ellery (2014)، Heaton *et al.* (2012) و Williams & Tomasko (2008) در دامنه محدود و یا نیمه‌محدود بوده است. روش تبدیل لاپلاس، یکی از ابزارهای قدرتمند و مفید حل تحلیلی بوده، که می‌تواند مسائل پیچیده ریاضی را به‌صورت تحلیلی حل نماید، در همین راستا می‌توان به پژوهش Carr (2020) اشاره نمود، وی در پژوهش خود با استفاده از تبدیل لاپلاس، معادله یک‌بعدی ADRE را برای یک محیط متخلخل  $m$  لایه با شرایط مرزی بالادست و پایین‌دست از نوع رایین با فرض ثابت بودن سرعت و ضریب پراکندگی حل نمود، سپس با استفاده از الگوریتم‌های لاپلاس‌گیری معکوس عددی مقدار غلظت را در هر لایه محاسبه کرد و در نهایت به‌منظور صحت‌سنجی، از حل عددی و سایر حل‌های تحلیلی موجود استفاده نمود. روش تبدیل فوریه<sup>۸</sup> یکی از قدیمی‌ترین روش تحلیلی حاضر است که از آن می‌توان

رودخانه، در حالت‌های یک‌بعدی، دو بعدی و سه‌بعدی به‌ازای شرایط مرزی بالادست نوع اول، دوم و سوم در دامنه‌های نامحدود، نیمه‌محدود و محدود با استفاده از تبدیل لاپلاس به‌صورت تحلیلی حل نمودند. در پژوهشی دیگر، Mazaheri *et al.* (2013) معادله یک‌بعدی انتقال آلودگی را با ضرایب ثابت، به‌ازای فعالیت منابع نقطه‌ای با الگوی نامنظم با به‌کارگیری روش تبدیل لاپلاس در رودخانه حل نمودند و حل خود برای چندین منبع آلودگی گسترش دادند. لازم به‌ذکر است که در خصوص برآورد و تخمین ضریب پراکندگی در رودخانه‌ها، پژوهش‌گران بسیاری در این راستا تلاش نموده‌اند (Balf *et al.*, 2018; Najafzadeh *et al.*, 2021; Noori *et al.*, 2017; Noori *et al.*, 2021).

در زمینه حل معادله ADRE با ضرایب متغیر در رودخانه، می‌توان به پژوهش Bavandpouri Gilan *et al.* (2017) اشاره نمود. ایشان معادله یک‌بعدی انتقال آلودگی را در یک دامنه محدود با روش انتگرال تعمیم‌یافته GITT در رودخانه حل کردند و حل خود را با حل عددی و سایر حل‌های تحلیلی صحت‌سنجی نمودند و به این نتیجه رسیدند که حل تحلیلی دارای دقت بالاتری نسبت به حل‌های عددی در رودخانه می‌باشد.

با توجه به پژوهش‌های انجام‌گرفته تاکنون، تقریباً تمامی حل‌های موجود برای معادله ADRE با ضرایب ثابت در محیط متخلخل و رودخانه می‌باشد و حل‌های تحلیلی صورت‌گرفته برای معادله مذکور با ضرایب متغیر محدود بوده و اکثراً برای محیط متخلخل انجام گرفته است و می‌توان اذعان داشت که در محیط رودخانه، حل تحلیلی برای معادله ADRE با ضرایب متغیر بسیار محدود می‌باشد. دلیل این امر را می‌توان پیچیدگی معادله مذکور، دشواری حل، محدودیت‌های روش‌های حل تحلیلی، حجم بالای محاسبات و ... دانست. بنابراین، مهم‌ترین

پژوهش‌گران انجام شد، پاسخ تحلیلی معادله یک‌بعدی انتقال آلودگی با ضرایب متغیر در محیط متخلخل با در نظر گرفتن سرعت به‌صورت خطی تابعی از مکان و ضریب پراکندگی به‌صورت تابعی از زمان و مکان استخراج شد (Kumar *et al.*, 2009, 2010).

حل معادله انتقال آلودگی در رودخانه با ضرایب ثابت نیز توسط روش‌های تحلیلی نظیر، تابع گرین، انتگرال تعمیم‌یافته، تبدیل فوریه و تبدیل لاپلاس امکان‌پذیر است. در پژوهشی که توسط Adrian *et al.* (1994) صورت گرفت، با استفاده از تبدیل GITT، معادله یک‌بعدی ADRE را در یک دامنه نیمه‌محدود با فرض ثابت بودن سرعت و ضریب پراکندگی در رودخانه حل نمودند و حل خود را جهت صحت‌سنجی با دو حل Dresnack & Dobbins (1968) و Yu *et al.* (1991) مقایسه کردند. به‌منظور کاربرد تابع گرین در حل معادله انتقال آلودگی در رودخانه، در پژوهشی پاسخ تحلیلی معادله یک‌بعدی و دو بعدی مذکور با ضرایب ثابت به‌ازای چندین منبع آلاینده نقطه‌ای با الگوی زمانی نامنظم توسط پژوهش‌گرانی استخراج شد و جهت اعتبارسنجی از حل عددی استفاده گردید (Shukla *et al.*, 2017). Mashhadgarne *et al.* (2002) با استفاده از تبدیل فوریه معادله یک‌بعدی انتقال آلودگی را در رودخانه در حالی حل نمود که فرض‌هایی نظیر ثابت بودن ضرایب معادله، شرط اولیه به‌صورت تابع نمایی و شرط مرزی بالادست به‌صورت توابع متناوب کسینوسی و سینوسی در نظر گرفت. یکی دیگر از روش‌های تحلیلی حاضر، روش تبدیل لاپلاس بوده که توانایی بالایی در حل معادلات دیفرانسیل در انواع دامنه‌های حل دارد، بدین منظور، در پژوهشی Genuchten *et al.* (2013)، معادله انتقال آلودگی را با فرض ثابت بودن سرعت و ضریب پراکندگی در

مدنظر خواهد بود. در شکل (۱)، فرض می‌شود که رودخانه موردنظر به  $n$  بازه تقسیم می‌شود، بنابراین  $\{i, j, k, \dots, m-1, m\}$  نقطه ایجاد می‌شود و هر بازه دارای طول‌های  $L_1, L_2, \dots, L_{n-1}, L_n$  می‌باشد، پس با توجه به معادله (۱)، برای هر بازه مقدار غلظت، ضریب زوال واکنش، سرعت، مساحت و ضریب پراکندگی نیز متفاوت است (دبی ثابت شده است و از ترم منبع صرف‌نظر می‌شود).

با توجه به شکل (۱) می‌توان نتیجه گرفت که با حل معادله ADRE با ضرایب ثابت برای یک بازه می‌توان آن را برای  $n$  بازه تعمیم داد، لذا در ابتدا فرض می‌شود که رودخانه مدنظر هیچ تقسیم‌بندی ندارد و به صورت یک بازه با دو نقطه  $i$  در ورودی و  $j$  در خروجی در نظر گرفته می‌شود و آلاینده با فرایندهای جابه‌جایی و پراکندگی در طول مسیر رودخانه حرکت می‌کند، بنابراین معادله حاکم بر انتقال و انتشار آلاینده در رودخانه در دامنه محدود  $0 \leq x \leq L_{ij}$  به صورت معادله (۲) می‌باشد:

$$\frac{\partial c_{ij}}{\partial t} = D_{ij} \frac{\partial^2 c_{ij}}{\partial x^2} - V_{ij} \frac{\partial c_{ij}}{\partial x} - K_{ij} c_{ij} \quad (2)$$

$$IC: c_{ij}(x, 0) = 0 \quad (3)$$

در روابط بالا  $c_{ij}$  بیانگر تابع غلظت آلاینده در واحد طول در مکان  $x$  و زمان  $t$ ، ضریب پراکندگی،  $V_{ij}$  سرعت متوسط جریان و  $K_{ij}$  ضریب زوال واکنش می‌باشد و معادله (۳) شرط اولیه در رودخانه را نشان می‌دهد. با توجه به متغیر بودن ضرایب در هر بازه، لازم است  $c_{ij}$  در واحد طول در نظر گرفته شود تا مساحت، که یک پارامتر کلیدی در ضرایب متغیر محسوب می‌شود، از طریق معادله (۴) که بیانگر شرط مرزی رودخانه است، در معادلات بعدی ظاهر شود، لذا:

$$BC: \begin{cases} c_{ij}(0, t) = A_{ij} c_i(t) \\ c_{ij}(L_{ij}, t) = A_{ij} c_j(t) \end{cases} \quad (4)$$

جنبه نوآوری در این پژوهش، ارائه یک راه‌حل تحلیلی کلی برای معادله جابه‌جایی-پراکندگی-واکنش با ضرایب متغیر با استفاده از روش تبدیل لاپلاس با شرایط مرزی متغیر در رودخانه بوده، که حل موجود براساس اصول فیزیکی استخراج شده و انعطاف‌پذیر می‌باشد و در انتها نیز، حل تحلیلی موجود در این پژوهش جهت اعتبارسنجی با حل عددی در رودخانه مقایسه می‌شود.

### مبانی تئوری و روش‌ها

روش تبدیل لاپلاس، یک تبدیل انتگرالی مفید و قدرتمند به‌عنوان یکی از روش‌های حل تحلیلی معادلات دیفرانسیل بوده، که به‌کارگیری روش‌های ترسیمی برای پیش‌بینی عملکرد سیستم را بدون حل واقعی معادلات دیفرانسیل ممکن می‌سازد. از مزایای روش تبدیل لاپلاس در حل معادلات دیفرانسیل می‌توان موارد زیر را اشاره نمود (Kreyszig, 2008):

- ۱- مسائل را به‌طور مستقیم حل می‌کند، یعنی اعمال مسائل مقدار شرط اولیه در آن آسان است.
- ۲- معادلات دیفرانسیل معمولی غیرهمگن بدون در نظر گرفتن حل اولیه برای تبدیل آن به معادلات دیفرانسیل همگن با این روش حل می‌شوند.
- ۳- مهم‌ترین مزیت آن استفاده از توابع هوی‌ساید<sup>۱۲</sup> و دلتای دیراک<sup>۱۳</sup> است که تحت وجود ترم منبع پیچیده استفاده از این روش را آسان می‌سازد.
- ۴- با حل معادله دیفرانسیل توسط روش تبدیل لاپلاس، می‌توان هر دو مؤلفه گذار و حالت ماندگار جواب را یک‌جا محاسبه کرد (Korn & Korn, 2000)

### رویکرد مدل‌سازی و معادلات اساسی

به‌منظور مدل‌سازی انتقال و انتشار آلاینده در رودخانه‌ها با استفاده از معادله ADRE با ضرایب متغیر، شکل (۱)

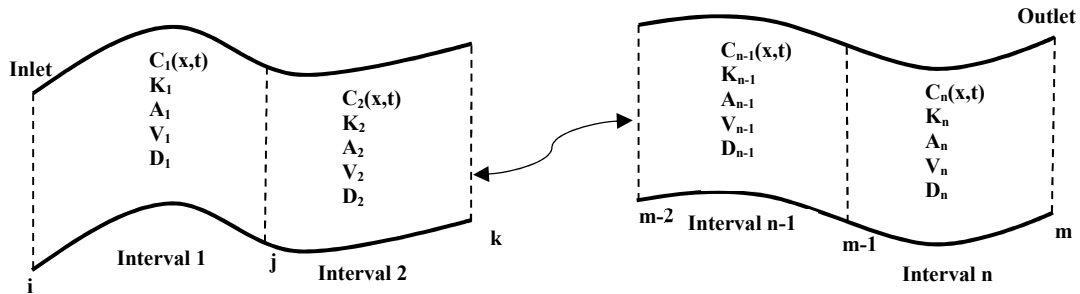


Figure 1. Schematic of the river in modeling

**حل تحلیلی معادله ADRE به ازای یک بازه رودخانه**  
 به منظور حل تحلیلی معادله انتقال آلودگی در رودخانه یعنی معادله (۲)، در دامنه محدود  $0 \leq x \leq L_{ij}$  و شرایط مرزی بالادست و پایین دست به صورت دریکله  $(X_{11})$ ، در ابتدا از معادلات (۲) و (۴) نسبت به  $t$  لاپلاس گرفته می شود، دلیل اعمال تبدیل لاپلاس در معادله انتقال آلودگی بر متغیر زمان این است که دامنه  $t$  (زمان) نامحدود بوده و اعمال آن بر متغیر مکان که دامنه آن محدود است امکان پذیر نمی باشد، بنابراین معادلات لاپلاس گیری شده (۷) و (۸) به دست می آید:

$$(s + K_{ij})C_{ij} + V_{ij} \frac{\partial C_{ij}}{\partial x} - D_{ij} \frac{\partial^2 C_{ij}}{\partial x^2} = 0 \quad (7)$$

$$BC: \begin{cases} C_{ij}(0, s) = A_{ij}C_i(s) \\ C_{ij}(L_{ij}, s) = A_{ij}C_j(s) \end{cases} \quad (8)$$

همچنین از معادله (۶) که بیانگر شار عبوری در هر بازه رودخانه می باشد نیز، لاپلاس گرفته می شود، لذا:

$$\varphi_i(s) = \sum_j \left[ V_{ij}C_{ij}(x, s) - D_{ij} \frac{\partial C_{ij}(x, s)}{\partial x} \right]_{x=0} \quad (9)$$

در معادله (۹)،  $\varphi_i(s)$  تبدیل لاپلاس  $I_i(t)$  می باشد. با توجه به معادله (۷) که یک معادله دیفرانسیل معمولی<sup>۱۴</sup> همگن بوده و ریشه های آن فقط به ازای  $s > 0$  دارای جواب است، با حل آن، دو ثابت  $B_1$  و  $B_2$  ایجاد می شود که در معادله (۱۰)، که پاسخ تحلیلی معادله (۷) می باشد، وجود دارند.

باتوجه به قانون اول فیک، که بیانگر مجموع فرایندهای جابه جایی و پراکندگی در بحث انتقال جرم محسوب می شود، می توان معادله (۵) را به کار برد، که این معادله، شار عبوری از نقطه ورودی  $i$  به نقطه خروجی  $j$  در رودخانه را نشان می دهد.

$$I_{ij}(t) = \left[ V_{ij}c_{ij}(x, t) - D_{ij} \frac{\partial c_{ij}(x, t)}{\partial x} \right]_{x=0} \quad (5)$$

به منظور تعمیم یک بازه به  $n$  بازه در رودخانه، می توان گفت که شار عبوری به هر بازه طبق معادله (۶) در نظر گرفته می شود.

$$I_i(t) = \sum_j \left[ V_{ij}c_{ij}(x, t) - D_{ij} \frac{\partial c_{ij}(x, t)}{\partial x} \right]_{x=0} \quad (6)$$

همان طور که ذکر شد، معادله های (۵) و (۶) هر دو بیانگر اصل فیزیکی براساس قانون فیک می باشند و از مجموع فرایندهای جابه جایی و پراکندگی استخراج شده اند و تنها تفاوت آنها با یکدیگر در این است که معادله (۵) شار عبوری آلودگی در یک نقطه را نشان می دهد، اما با توجه به این که در پژوهش حاضر، تقسیم بندی هایی برای رودخانه مورد نظر به منظور شبیه سازی با ضرایب متغیر بایستی صورت گیرد. لذا برای نقاط بینایی، شار ورودی به هر نقطه بیش تر از یک واحد طول تقسیم شده است، پس به منظور تعمیم به چند بازه، بایستی معادله (۶) به کار گرفته شود.

رودخانه دارای  $n$  بازه پرداخته می‌شود، بدین منظور با مدنظر داشتن معادله (۹) که بیانگر شار عبوری در هر بازه رودخانه است، با در نظر گرفتن معادلات (۱۳) و (۱۶)، و اعمال تغییرات لازم در آن‌ها برای قرارگیری در معادله (۹)، معادله نهایی (۱۷) محاسبه خواهد شد، لذا:

$$\varphi_i(s) = \sum_j \left[ A_{ij} C_i(s) \left\{ \frac{V_{ij}}{2} + \frac{\alpha_{ij}(s)}{2 \tanh(\xi_{ij}(s))} \right\} - A_{ij} C_j(s) \left\{ \frac{\alpha_{ij}(s) e^{-\theta_{ij}}}{2 \sinh(\xi_{ij}(s))} \right\} \right] \quad (17)$$

با توجه به معادله (۱۷)، با معلوم بودن تبدیل لاپلاس غلظت آلودگی در هر بازه رودخانه یعنی  $\bar{C}(s) = \{C_1(s), \dots, C_m(s)\}$  جایی که  $m$  تعداد نقاط است، می‌توان تبدیل لاپلاس  $\{\varphi_1, \dots, \varphi_m\}$  (تبدیل لاپلاس  $\bar{I}$ ) را محاسبه نمود و  $\bar{C}(s)$  را به دست آورد. به عبارت دیگر، به ازای هر  $C_1(s), \dots, C_m(s)$  یک معادله خطی وجود دارد و  $\bar{C}(s)$  و  $\bar{\varphi}(s)$  بردارهای ستونی می‌باشند، یعنی:

$$R(s) \bar{C}(s) = \bar{\varphi}(s) \quad (18)$$

که در آن:

$$R_{ij}(s) = \begin{cases} \sum_k A_{ik} \left[ \frac{V_{ik}}{2} + \frac{\alpha_{ik}(s)}{2 \tanh(\xi_{ik}(s))} \right] & i = j \\ \frac{-A_{ij} \alpha_{ij}(s) e^{-\theta_{ij}}}{2 \sinh(\xi_{ij}(s))} & \text{Otherwise} \end{cases} \quad (19)$$

در معادله (۱۸)  $R(s)$  ماتریس انتشار نامیده می‌شود که به ازای هر نقطه یک ردیف و یک ستون دارد. ماتریس  $R(s)$  یک ماتریس نامتقارن و پراکنده  $m \times m$  (تعداد نقاط است) بوده که عناصر قطری (مورب) آن همگی مثبت است، همچنین اگر اتصالی بین نقاط  $i$  و  $j$  وجود نداشته باشد، درایه‌های آن صفر و اگر اتصالی وجود داشته باشد عناصر آن منفی خواهد بود. لازم به ذکر است که تمامی درایه‌های این ماتریس از طریق رابطه (۱۹) نیز پر می‌شوند. به طور مثال، برای یک رودخانه‌ای که به چهار

$$C_{ij}(x, s) = B_1 e^{\frac{V_{ij} + \alpha_{ij}(s)}{2D_{ij}} x} + B_2 e^{\frac{V_{ij} - \alpha_{ij}(s)}{2D_{ij}} x} \quad (10)$$

که در آن:

$$\alpha_{ij}(s) = \sqrt{V_{ij}^2 + 4D_{ij}(s + K_{ij})} \quad (11)$$

جهت محاسبه دو ثابت  $B_1$  و  $B_2$  ایجاد شده در معادله (۱۰)، از معادله (۸) که بیانگر شرط مرزی لاپلاس گرفته شده از معادله (۴) است استفاده می‌شود، بنابراین:

$$C_{ij}(0, s) = B_1 + B_2 = A_{ij} C_i(s) \quad (12)$$

$$C_{ij}(L_{ij}, s) = B_1 e^{\left(\frac{V_{ij} L_{ij} + \alpha_{ij}(s) L_{ij}}{2D_{ij}}\right)} + B_2 e^{\left(\frac{V_{ij} L_{ij} - \alpha_{ij}(s) L_{ij}}{2D_{ij}}\right)} = A_{ij} C_j(s).$$

با در نظر گرفتن دو نسبت بی‌بعد معادلات (۱۳) برای هر بازه رودخانه و جایگذاری آن در معادلات (۱۲)، ضرایب  $B_1$  و  $B_2$  محاسبه می‌گردد.

$$\theta_{ij} = \frac{V_{ij} L_{ij}}{2D_{ij}}, \quad \xi_{ij}(s) = \frac{\alpha_{ij}(s) L_{ij}}{2D_{ij}} \quad (13)$$

$$B_1 = \frac{A_{ij} C_j(s) e^{-\theta_{ij}} - A_{ij} C_i(s) e^{-\xi_{ij}(s)}}{2 \sinh(\xi_{ij}(s))} \quad (14)$$

به طور مشابه:

$$B_2 = \frac{A_{ij} C_i(s) e^{\xi_{ij}(s)} - A_{ij} C_j(s) e^{-\theta_{ij}}}{2 \sinh(\xi_{ij}(s))} \quad (15)$$

با محاسبه ثابت‌های  $B_1$  و  $B_2$  یعنی معادلات (۱۴) و (۱۵) و جایگذاری آن‌ها در معادله (۱۰)، تابع غلظت آلودگی با ضرایب ثابت در یک بازه رودخانه به صورت معادله (۱۶) محاسبه می‌شود.

$$C_{ij}(x, s) = A_{ij} C_i(s) \frac{\sinh\left(\frac{L_{ij} - x}{L_{ij}} \xi_{ij}(s)\right)}{\sinh(\xi_{ij}(s))} e^{\frac{x \theta_{ij}}{L_{ij}}} + A_{ij} C_j(s) \frac{\sinh\left(\frac{x}{L_{ij}} \xi_{ij}(s)\right)}{\sinh(\xi_{ij}(s))} e^{\frac{x - L_{ij}}{L_{ij}} \theta_{ij}} \quad (16)$$


### تعمیم حل تحلیلی معادله ADRE به ازای یک بازه رودخانه به $n$ بازه در رودخانه

با حل معادله انتقال آلودگی با ضرایب ثابت در یک بازه رودخانه، اکنون به بررسی تعمیم حل مذکور در یک

### نتایج و بحث

به منظور ارزیابی و اعتبارسنجی روش ارائه شده در این پژوهش، سه مثال فرضی طراحی می شود که در هر یک، رودخانه مورد نظر به دو بازه، چهار بازه و هشت بازه تقسیم می شود، که هدف این سه مثال، نشان دادن دقت حل تحلیلی موجود در این پژوهش در زمانی که تعداد تقسیم بندی ها زیاد شود، برای ضرایب متغیر معادله انتقال آلودگی می باشد. بدین منظور، در هر یک از سه مثال طول رودخانه یک مقدار ثابت برابر با ۱۲ کیلومتر بوده و مقادیر سرعت، ضریب پراکندگی و سطح مقطع جریان در هر مکان از این رودخانه در نمودارهای (۴) تا (۶) نشان داده شده است. هم چنین به منظور شبیه سازی هر یک از مثال ها، با صرف نظر کردن از ضریب زوال واکنش، زمان شبیه سازی ۱۲ ساعت و شرط مرزی غلظت ورودی به رودخانه مطابق شکل (۷) و شرط مرزی غلظت خروجی نیز به صورت حد بی نهایت غلظت در نظر گرفته شده است. در نهایت، برای ارزیابی حل تحلیلی صورت گرفته در این پژوهش، از حل عددی تمام ضمنی<sup>۱۶</sup> تفاضل محدود<sup>۱۷</sup> با تقریب مشتق مرکزی<sup>۱۸</sup> در مکان با هدف کاهش مقدار پراکندگی عددی استفاده شده است و این دو حل با شاخص های خطای آماری نظیر ضریب همبستگی ( $R^2$ )، جذر میانگین مربع خطاها (RMSE) و میانگین خطای مطلق (MAE) مقایسه می شوند.

بازه (دارای پنج نقطه) تقسیم شده باشد ماتریس انتشار آن به صورت شکل (۲) خواهد بود. در شکل (۲)،  $\lambda(s)$  تابعی بر حسب متغیر  $s$  لاپلاس می باشد که برای عناصر قطری از رابطه قسمت بالای معادله (۱۹) و برای عناصر غیرقطری از رابطه قسمت پایینی معادله (۱۹) به دست می آید. به طور کلی، با توجه به توابع  $R(s)$  و  $\bar{\rho}(s)$ ، می توان ماتریس  $\bar{C}(s)$  را با استفاده از الگوریتم های عددی حل دستگاه معادلات محاسبه نمود و مقدار غلظت های نقاط  $C_1(s), \dots, C_m(s)$  را می توان با الگوریتم های لاپلاس گیری معکوس عددی نظیر CME (Horváth et al., 2020)<sup>۱۹</sup>، گاور- استهفست (Stehfest, 1970; Villinger, 1985)، تالبوت (Murli & Rizzardi, 1990) و ... به دست آورد، که در پژوهش حاضر، از الگوریتم لاپلاس گیری معکوس عددی CME به دلیل دقت و سرعت بالای محاسبات نسبت به الگوریتم های گاور- استهفست و تالبوت استفاده شده است. در این روش، لاپلاس گیری معکوس عددی بر اساس توزیع نمایی ماتریس متمرکز (CME) انجام می شود و ضمن حفظ دقت نتایج در مرتبه ۱۰۰۰ نیز از نظر عددی پایدار است، در حالی که سایر روش های در حال حاضر برای مرتبه ۱۰۰ ناپایدار می شوند، هم چنین هنگام کار با توزیع احتمالاتی، روش ایده آلی خواهد بود (Horváth et al., 2020). روند کلی مدل سازی تحلیلی معادله انتقال آلودگی در رودخانه با ضرایب متغیر در فلوجارت شکل (۳) آمده است.



$$\begin{bmatrix} \lambda_{11}(s) & -\lambda_{12}(s) & 0 & 0 & 0 \\ -\lambda_{21}(s) & \lambda_{22}(s) & -\lambda_{23}(s) & 0 & 0 \\ 0 & -\lambda_{32}(s) & \lambda_{33}(s) & -\lambda_{34}(s) & 0 \\ 0 & 0 & -\lambda_{43}(s) & \lambda_{44}(s) & -\lambda_{45}(s) \\ 0 & 0 & 0 & -\lambda_{54}(s) & \lambda_{55}(s) \end{bmatrix}$$

Figure 2. The diffusion matrix shape is provided for the example



حل تحلیلی معادله انتقال آلودگی با ضرایب متغیر در رودخانه با استفاده از تبدیل لاپلاس

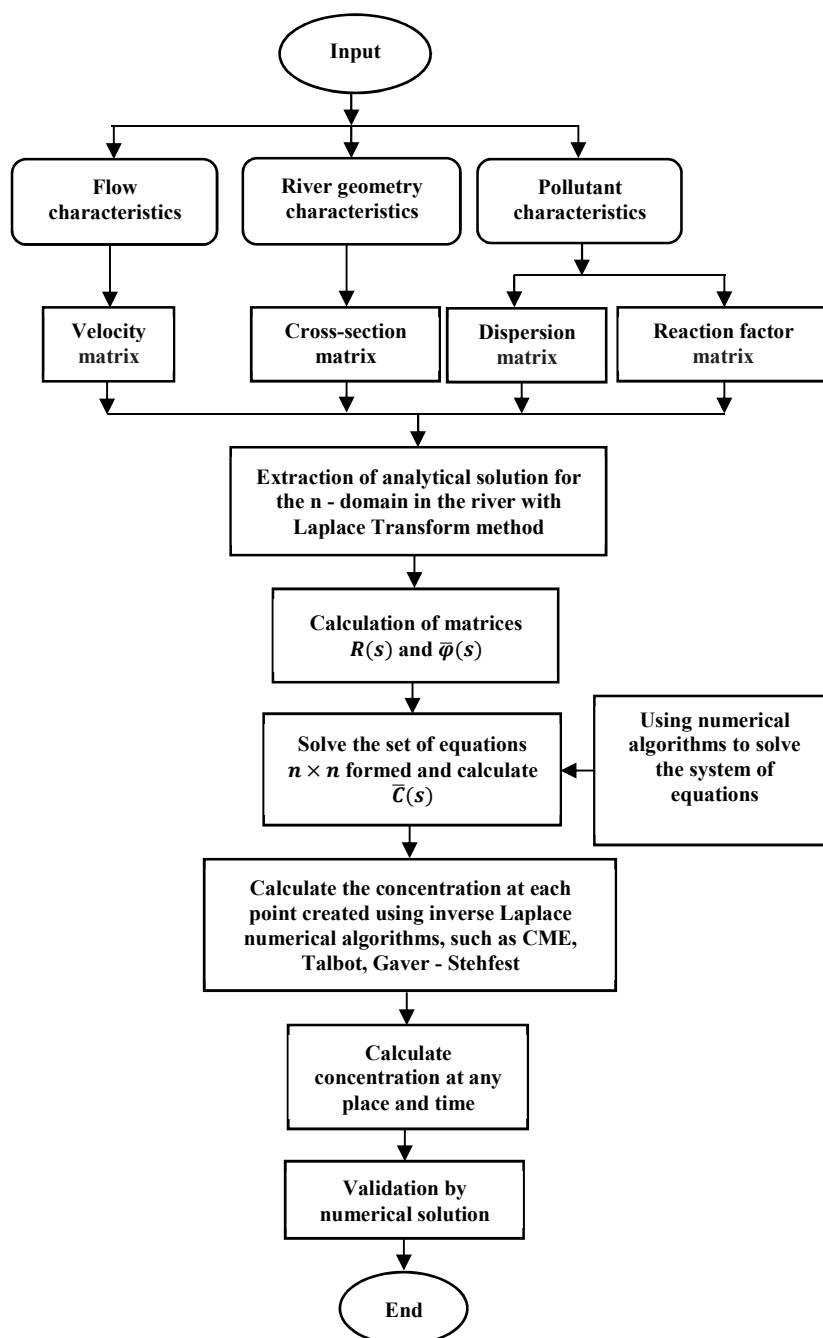


Figure 3. Analytical modeling process of pollution transport with variable coefficients in the river

سطح مقطع جریان در دو بازه صفر تا شش کیلومتری و شش تا ۱۲ کیلومتری، به مدل‌سازی حل تحلیلی انجام شده با ضرایب متغیر پرداخته خواهد شد، لذا در این حالت برای هر کدام از پارامترهای موردنظر دو مقدار لحاظ شده است که در جدول (۱) آمده است.

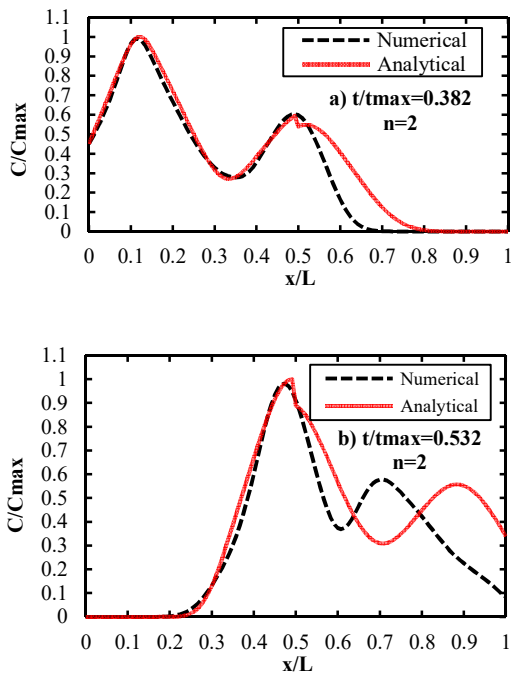
**مثال اول: ارزیابی حل تحلیلی در حالت تقسیم رودخانه به دو بازه**

در مثال اول، رودخانه موردنظر به دو بازه شش کیلومتری تقسیم می‌شود، در این حالت با توجه به شکل‌های (۴) تا (۶) با متوسط‌گیری از مقادیر سرعت، ضریب پراکندگی و

**Table 1. The values of the flow and pollutant parameters in the example 1**

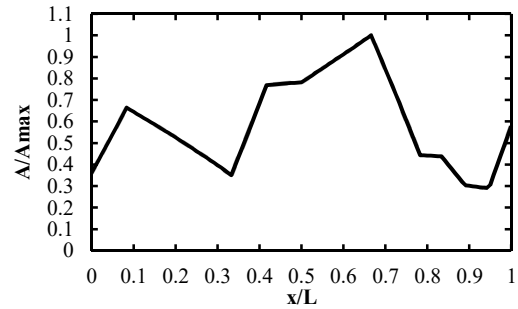
| Parameter                                  | Interval<br>0 to 6 km | Interval<br>6 to 12 km |
|--|-----------------------|------------------------|
| Velocity (m/s)                             | 0.68                  | 0.68                   |
| Dispersion coefficient (m <sup>2</sup> /s) | 14.46                 | 18.85                  |
| Flow cross-section (m <sup>2</sup> )       | 31.24                 | 35.04                  |

نتایج حاصل از شبیه‌سازی تحلیلی در دو زمان بی‌بعد شده ۰/۳۸۲ (از تقسیم زمان خروجی نمودار یعنی ۱۶۵۰۰ ثانیه بر زمان کل شبیه‌سازی ۱۲ ساعت معادل ۴۳۲۰۰ ثانیه به‌دست آمده است) و ۰/۵۳۲ (از تقسیم زمان خروجی نمودار یعنی ۲۳۰۰۰ ثانیه بر زمان کل شبیه‌سازی ۱۲ ساعت معادل ۴۳۲۰۰ ثانیه به‌دست آمده است) در شکل (۸) و ارزیابی آن با حل عددی با استفاده از شاخص‌های آماری در جدول (۴) آمده است.

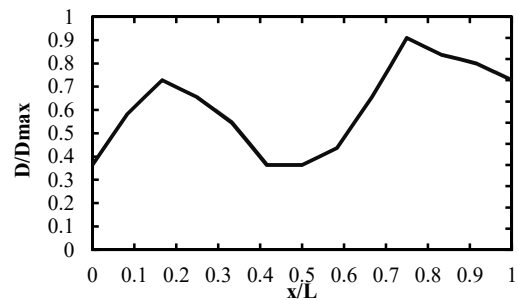


**Figure 8. Comparison of spatial profile concentration of the two analytical and numerical solutions for the example 1 (for 2 Intervals) at times a) 0.382 and b) 0.532.**

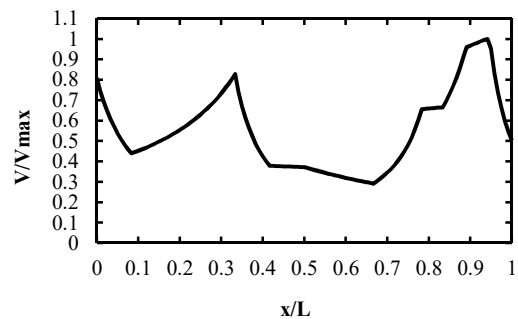
همان‌طورکه در شکل (۸) ملاحظه می‌شود، دقت حل تحلیلی با تقریب دو بازه‌ای برای رودخانه با ضرایب متغیر



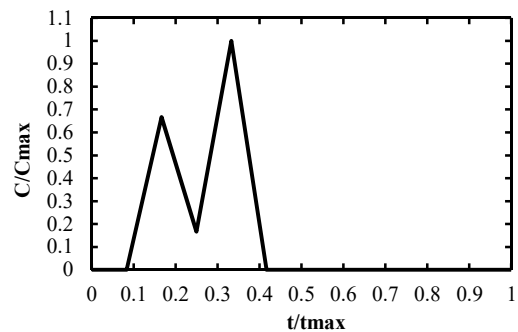
**Figure 4. Variation of flow cross-section along the river**



**Figure 5. Variation of dispersion coefficient along the river**



**Figure 6. Variation of velocity along the river**



**Figure 7. River inlet boundary condition**

## حل تحلیلی معادله انتقال آلودگی با ضرایب متغیر در رودخانه با استفاده از تبدیل لاپلاس

همچنین شاخص‌های آماری محاسبه شده جهت ارزیابی حل تحلیلی با حل عددی در جدول (۴) آمده است. با توجه به شکل (۹-ا)، دقت حل تحلیلی با تقریب چهار بازه‌ای با ضرایب متغیر در رودخانه تقریباً قابل قبول بوده و حل مذکور دارای انطباق خوبی با حل عددی می‌باشد، اما در ارتباط با شکل (۹-ب)، اثر تغییر ضرایب سرعت، ضریب پراکندگی و مساحت، همچنان به میزان کمی در کیلومتر ۰/۵ تا یک دیده می‌شود و این به معنی تفاوت مقدار زیاد این سه ضریب در کیلومتر مذکور می‌باشد، که می‌توان با استناد به مقایسه آماری صورت گرفته بین دو حل تحلیلی و عددی در جدول (۴)، که نشان از انطباق خوب دو حل می‌باشد، از این اختلاف در شکل (۹-ب) صرف نظر نمود. همچنین همان‌طور که قبلاً ذکر شد، این اختلاف ناچیز می‌تواند به علت خطاهای رایج در حل‌های عددی نیز باشد.

### مثال سوم: ارزیابی حل تحلیلی در حالت تقسیم رودخانه به هشت بازه

در مثال سوم، جهت بالابردن دقت حل تحلیلی، رودخانه مورد نظر به هشت بازه ۱/۵ کیلومتری تقسیم شده که در جدول (۳)، مشخصات بازه‌ها همراه با مقادیر میانگین سرعت، ضریب پراکندگی و مساحت ذکر شده است. همچنین نتایج مدل‌سازی حل تحلیلی در این بخش به‌ازای دو زمان ۰/۳۸۲ و ۰/۵۳۲ در شکل (۱۰) و نتایج آماری آن با حل عددی در جدول (۴) آمده است.

پایین بوده و نسبت به حل عددی دارای انطباق خوبی نمی‌باشد. در واقع، این تفاوت بین حل تحلیلی و عددی موجود در این پژوهش، در کیلومتر ۰/۵ (بی‌بعدشده) تا یک در زمان‌های بی‌بعدشده ۰/۳۸۲ و ۰/۵۳۲ در شکل (۸) کاملاً گویا بوده و با توجه به شاخص‌های آماری محاسبه شده برای این دو زمان در جدول (۴)، با گذشت زمان از میزان دقت کاهش می‌یابد. دلیل این امر را می‌توان تفاوت میزان ضرایب سرعت، ضریب پراکندگی و سطح مقطع جریان در کیلومتر ۰/۵ به بعد در رودخانه دانست. لازم به ذکر است که وجود خطاهای رایج در حل‌های عددی نظیر، خطای پراکندگی عددی، خطای گرد کردن<sup>۱۹</sup> و خطای کوتاه کردن<sup>۲۰</sup> جملات ریاضی بسط تیلور در این اختلاف بی‌تأثیر نیست، بنابراین به منظور بالابردن دقت، لازم است تقسیم‌بندی رودخانه به بازه‌های کوچک‌تر بیش‌تر در نظر گرفته شود.

### مثال دوم: ارزیابی حل تحلیلی در حالت تقسیم رودخانه به چهار بازه

در این بخش از شبیه‌سازی، رودخانه مورد نظر به چهار بازه سه کیلومتری تقسیم می‌شود و مشخصات بازه‌ها به صورت جدول (۲) همراه با مقادیر متوسط‌گیری شده سرعت، ضریب پراکندگی و سطح مقطع جریان با توجه به شکل‌های (۴) تا (۶)، آمده است.

نتایج حاصل از شبیه‌سازی تحلیلی با در نظر گرفتن تقسیم‌بندی رودخانه به چهار بازه، در دو زمان بی‌بعدشده ۰/۳۸۲ و ۰/۵۳۲ در شکل (۹) قابل مشاهده می‌باشد،

Table 2. The values of the flow and pollutant parameters in the example 2

| Parameter                                  | Interval 0 to 3 km | Interval 3 to 6 km | Interval 6 to 9 km | Interval 9 to 12 km |
|--|--------------------|--------------------|--------------------|---------------------|
| Velocity (m/s)                             | 0.68               | 0.68               | 0.43               | 0.93                |
| Dispersion coefficient (m <sup>2</sup> /s) | 16.29              | 13.14              | 16.07              | 22.5                |
| Flow cross-section (m <sup>2</sup> )       | 30.07              | 32.24              | 47.42              | 22.61               |

Table 3. The values of the flow and pollutant parameters in the example 3

| Parameter                                  | Interval 0 to 1.5km | Interval 1.5 to 3km | Interval 3 to 4.5km | Interval 4.5 to 6km | Interval 6 to 7.5km | Interval 7.5 to 9km | Interval 9 to 10.5km | Interval 10.5 to 12km |
|--|---------------------|---------------------|---------------------|---------------------|---------------------|---------------------|----------------------|-----------------------|
| Velocity (m/s)                             | 0.68                | 0.67                | 0.85                | 0.5                 | 0.42                | 0.43                | 0.82                 | 1.04                  |
| Dispersion coefficient (m <sup>2</sup> /s) | 14.25               | 18.75               | 15.5                | 10.63               | 12                  | 19.88               | 23.63                | 21.38                 |
| Flow cross-section (m <sup>2</sup> )       | 30.45               | 29.94               | 23.75               | 40.64               | 47.78               | 47.37               | 24.81                | 20.17                 |

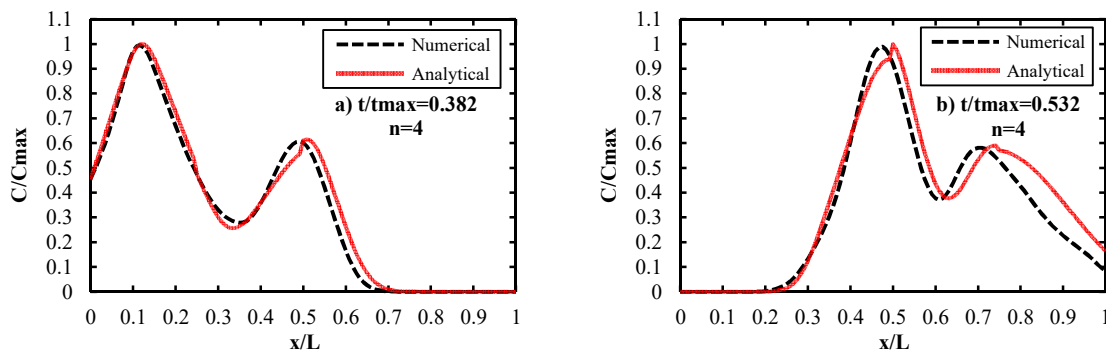


Figure 9. Comparison of spatial profile concentration of the two analytical and numerical solutions for the example 2 (for 4 Intervals) at times a) 0.382 and b) 0.532.

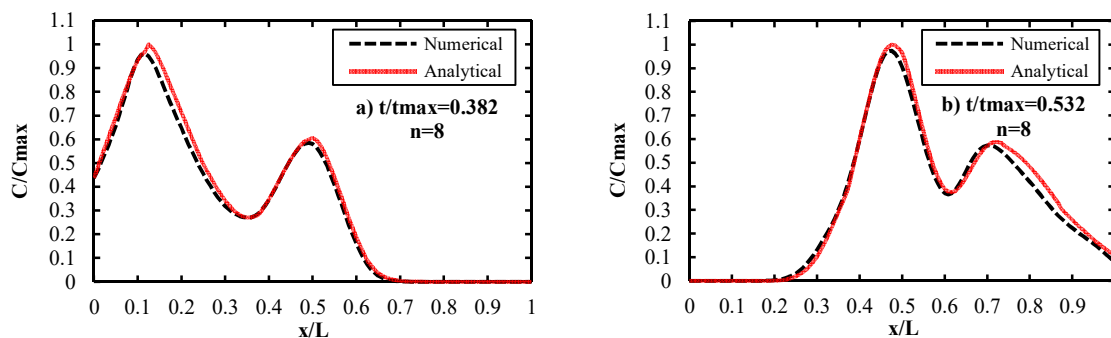


Figure 10. Comparison of spatial profile concentration of the two analytical and numerical solutions for the example 3 (for 8 Intervals) at times a) 0.382 and b) 0.532.

Table 4. Error indexes for the three examples

| Index                     | Example 1    |              | Example 2    |              | Example 3    |              |
|---------------------------|--------------|--------------|--------------|--------------|--------------|--------------|
|                           | t/tmax=0.382 | t/tmax=0.532 | t/tmax=0.382 | t/tmax=0.532 | t/tmax=0.382 | t/tmax=0.532 |
| RMSE (kg/m <sup>3</sup> ) | 0.096        | 0.159        | 0.044        | 0.076        | 0.031        | 0.031        |
| R <sup>2</sup> (%)        | 94.35        | 76.67        | 98.62        | 94.86        | 99.7         | 99.28        |
| MAE (kg/m <sup>3</sup> )  | 0.056        | 0.11         | 0.03         | 0.057        | 0.02         | 0.023        |

بنابراین می توان اذعان داشت که اختلاف بسیار ناچیز دو حل تحلیلی و عددی، به دلیل وجود خطاهای رایج در حل عددی می باشد و به منظور کم کردن این خطای ناچیز می توان گام زمانی و مکانی را تا حد ممکن کوچکتر در نظر گرفت. به طور کلی، با ارائه این سه مثال می توان دریافت که شاخص های آماری نظیر ضریب همبستگی ( $R^2$ )، جذر میانگین مربع خطاها (RMSE) و میانگین خطای مطلق (MAE) با افزایش تعداد تقسیم بندی های رودخانه به بازه های کوچکتر، به ترتیب بیشتر، کم تر و کم تر می شوند،

باتوجه به شکل (۱۰) دقت حل تحلیلی با تقریب هشت بازه ای در رودخانه با ضرایب متغیر بسیار عالی بوده و دو حل تحلیلی و عددی در هر دو زمان بی بعد شده ۰/۳۸۲ و ۰/۵۳۲ دارای انطباق بسیار خوبی با یکدیگر می باشند. همچنین مشکل اختلاف مقادیر ضرایب سرعت، ضریب پراکندگی و مساحت در کیلومتر از ۰/۵ تا یک به دلیل تقسیم بندی رودخانه به هشت بازه و نزدیک بودن میانگین مقادیر مذکور به واقعیت، وجود ندارد و شاخص های آماری محاسبه شده در جدول (۴) دلالت بر این امر داشته است.

که این امر دلالت بر بالا رفتن دقت حل تحلیلی موجود در این پژوهش با افزایش تعداد بازه‌ها، دارد.

### نتیجه‌گیری

با توجه به حائز اهمیت بودن مشکل آلودگی رودخانه‌ها، که یکی از مهم‌ترین منابع طبیعی آب مورد نیاز بشر در جهان محسوب می‌شوند، بنابراین مسأله محاسبه غلظت آلاینده‌ها در رودخانه‌ها مهم بوده، که این امر با حل معادله اساسی آن یعنی معادله ADRE امکان‌پذیر می‌باشد و از آنجایی که به کاربردن ضرایب متغیر در معادله مذکور علاوه بر این که پیچیدگی حل مسأله را زیاد می‌کند، به دلیل شرایط رودخانه و پارامترهای جریان، نتایج آن به واقعیت نسبت به ضرایب ثابت نزدیک‌تر است. لذا در پژوهش حاضر، مهم‌ترین نوآوری آن، استخراج پاسخ تحلیلی معادله ADRE با ضرایب متغیر در یک دامنه محدود با به‌کارگیری روش تبدیل لاپلاس با شرایط مرزی  $X_{11}$  (بالادست و پایین‌دست دیریکله) و براساس اصول فیزیکی در رودخانه بوده و حل موجود در انعطاف‌پذیر می‌باشد. به منظور کاربرد حل تحلیلی موجود در این پژوهش، شبیه‌سازی‌هایی به‌ازای شرایط مرزی متغیر در سه مثال ارائه شد. این پژوهش نشان داد که روش تبدیل لاپلاس یک روش تحلیلی قوی بوده که علاوه بر توانایی حل معادلات دیفرانسیل پیچیده از جمله معادله ADRE با ضرایب متغیر، توانایی مدل‌سازی به‌ازای شرایط مرزی پیچیده‌تر را نیز دارا می‌باشد، هم‌چنین از معایب روش تبدیل لاپلاس نیز در حل مسائل انتقال آلودگی می‌توان به محدودیت‌های الگوریتم‌های لاپلاس‌گیری معکوس عددی اشاره نمود، که در این زمینه بایستی از الگوریتم‌هایی استفاده شود که ضمن داشتن توانایی لازم برای لاپلاس وارون‌گیری توابع پیچیده محاسبه‌شده برحسب متغیر  $s$  لاپلاس، دقت بالایی در محاسبات نیز داشته باشند. چراکه هرچه توابع برحسب  $s$  ایجاد شده پیچیده‌تر باشد، نمی‌توان لاپلاس

وارون را به‌صورت تحلیلی گرفت، بنابراین باید از الگوریتم‌های لاپلاس‌گیری عددی‌ای استفاده کرد که دقت و سرعت محاسبات بالایی داشته باشند. نتایج نشان داد که هرچه تقسیم‌بندی طول رودخانه به بازه‌های کوچک‌تر برای ضرایب متغیر بیش‌تر در نظر گرفته شود، دقت مدل تحلیلی در مقایسه با حل عددی بالاتر می‌رود و نتایج با واقعیت یکی خواهد شد و برعکس، هرچه این تقسیم‌بندی کم‌تر باشد، نتایج حل تحلیلی در مقایسه با حل عددی دارای خطا خواهد بود. اما باید توجه داشت که هرچه تعداد بازه‌ها بیش‌تر شود، حجم ماتریس‌های ورودی از جمله ماتریس سرعت، ماتریس ضریب پراکندگی، ماتریس سطح مقطع عرضی و ... بیش‌تر و به‌دنبال آن محاسبه ماتریس انتشار دشوارتر و دستگاه معادلات بزرگ‌تر خواهد شد، که این موارد باعث افزایش هزینه محاسبات و صرف زمان بیش‌تر می‌شود. در مقایسه با پژوهش‌های صورت‌گرفته در زمینه حل تحلیلی معادله ADRE با ضرایب متغیر در رودخانه از جمله پژوهش *Bavandpouri Gilan et al.* (2017)، می‌توان ادعا داشت که، در پژوهش حاضر و پژوهش *Bavandpouri Gilan et al.* (2017)، چون حل تحلیلی روی یک معادله صورت گرفته پس نتایج یکی خواهد بود، اما پژوهش حاضر به سه دلیل نسبت به پژوهش *Bavandpouri Gilan et al.* (2017) مزیت خواهد داشت؛ ۱- در پژوهش ایشان مشکلات همگن کردن شرایط مرزی متغیر وجود دارد، این درحالی است که در پژوهش حاضر این مشکل وجود ندارد، ۲- در پژوهش مذکور که با استفاده از روش تبدیل انتگرال تعمیم‌یافته صورت گرفته است. پیچیدگی حل بیش‌تر بوده، در نتیجه هزینه محاسباتی آن بیش‌تر از پژوهش حاضر با استفاده از تبدیل لاپلاس است، ۳- دستگاه معادلاتی از نوع معادلات دیفرانسیل معمولی در پژوهش *Bavandpouri Gilan et al.* (2017) ایجاد

### منابع

1. Adrian, D.D., Yu, F.X., & Barbe, D. (1994). Water quality modeling for a sinusoidally varying waste discharge concentration. *Water Research*, 28(5), 1167-1174.
2. Balf, M.R., Noori, R., Berndtsson, R., Ghaemi, A., & Ghiasi, B. (2018). Evolutionary polynomial regression approach to predict longitudinal dispersion coefficient in rivers. *Journal of Water Supply: Research and Technology-Aqua*, 67(5), 447-457.
3. Bavandpouri Gilan, N., Mazaheri, M., & Fotouhi Firouzabadi, M. (2017). Analytical Solution of Contaminant Transport Equation in River by Arbitrary Variable Coefficients Using Generalized Integral Transform Technique. *Journal of Advanced Mathematical Modeling*, 7(1), 89-116. (in Persian)
4. Bharati, V. K., Singh, V. P., Sanskrityayn, A., & Kumar, N. (2019). Analytical solution for solute transport from a pulse point source along a medium having concave/convex spatial dispersivity within fractal and Euclidean framework. *Journal of Earth System Science*, 128(8), 1-19.
5. Carr, E.J. (2020). New semi-analytical solutions for advection-dispersion equations in multilayer porous media. *Transport in Porous Media*, 135(1), 39-58.
6. Chapra, S. C. (2008). *Surface water-quality modeling*. Waveland press.
7. Chen, J.-S., Liu, C.-W., Liang, C.-P., & Lai, K.-H. (2012). Generalized analytical solutions to sequentially coupled multi-species advective-dispersive transport equations in a finite domain subject to an arbitrary time-dependent source boundary condition. *Journal of hydrology*, 456, 101-109.
8. Cotta, R. M., Knupp, D. C., & Naveira-Cotta, C. P. (2016). *Analytical heat and fluid flow in microchannels and microsystems*. New York, NY: Springer.
9. Dresnack, R., & Dobbins, W.E. (1968). Numerical analysis of BOD and DO profiles. *Journal of the Sanitary Engineering Division*, 94(5), 789-807.
10. Genuchten, M.T., Leij, F.J., Skaggs, T.H., Toride, N., Bradford, S.A., & Pontedeiro, E.M. (2013). Exact analytical solutions for contaminant transport in rivers 1. The equilibrium advection-dispersion equation. *Journal of Hydrology and Hydromechanics*, 61(2), 146.

می‌شود که حل این دستگاه بسیار زمان‌بر بوده و در مقایسه با پژوهش حاضر، زمان بیش‌تری جهت شبیه‌سازی صرف خواهد شد. باتوجه به مثال‌های این پژوهش، هرچه تعداد بازه‌ها برای رودخانه موردنظر بیش‌تر شود حل تحلیلی موجود در این پژوهش دارای انطباق خوبی با حل عددی بوده که شاخص‌های آماری محاسبه‌شده از مقایسه این دو حل گواه این موضوع می‌باشد و در مواردی، حل تحلیلی موجود می‌تواند به دلیل دقت بالاتر، به‌عنوان معیاری جهت صحت‌سنجی حل‌های عددی در نظر گرفته شود.

### پی‌نوشت‌ها

1. Advection
2. Dispersion
3. Fick
4. Advection-Dispersion-Reaction (ADRE)
5. Green Function Method
6. Generalized Integral Transform Technique (GITT)
7. Laplace Transform Method
8. Fourier Transform Method
9. Inverse Fourier transform
10. Stretched Gaussian distribution
11. Conformable advection-dispersion equation
12.  $H(x - a) = \begin{cases} 0 & \text{if } x < a \\ 1 & \text{if } x > a \end{cases}$
13.  $\delta(x) = \begin{cases} \infty, & x = 0 \\ 0, & x \neq 0 \end{cases}$
14. Ordinary differential equation (ODE)
15. Concentrated matrix exponential
16. Fully implicit
17. Finite difference
18. Central space
19. Round-off errors
20. Truncation errors

### دسترسی به داده‌ها

دسترسی به اطلاعات اضافی این پژوهش، تنها از طریق ایمیل نویسنده مسئول امکان‌پذیر است

### تعارض منافع

هیچ‌گونه تعارض منافع توسط نویسندگان وجود ندارد.

11. Guerrero, J.P., Pimentel, L.C.G., Skaggs, T., & Van Genuchten, M.T. (2009). Analytical solution of the advection–diffusion transport equation using a change-of-variable and integral transform technique. *International Journal of Heat and Mass Transfer*, 52(13-14), 3297-3304.
12. Gulliver, J.S. (2007). *Introduction to chemical transport in the environment*. Cambridge University Press.
13. Heaton, L.L., López, E., Maini, P.K., Fricker, M.D., & Jones, N.S. (2012). Advection, diffusion, and delivery over a network. *Physical Review E*, 86(2), 021905.
14. Hemond, H. F., & Fechner, E. J. (2014). *Chemical fate and transport in the environment*. Academic Press: Elsevier.
15. Horváth, G., Horváth, I., Almousa, S. A.-D., & Telek, M. (2020). Numerical inverse Laplace transformation using concentrated matrix exponential distributions. *Performance Evaluation*, 137, 102067.
16. Korn, G.A., & Korn, T.M. (2000). *Mathematical handbook for scientists and engineers: definitions, theorems, and formulas for reference and review*. Courier Corporation.
17. Kreyszig, E. (2008). *Advanced Engineering Mathematics*. JohnWileyand sons.
18. Kumar, A., Jaiswal, D. K., & Kumar, N. (2009). Analytical solutions of one-dimensional advection-diffusion equation with variable coefficients in a finite domain. *Journal of Earth System Science*, 118(5), 539-549.
19. Kumar, A., Jaiswal, D. K., & Kumar, N. (2010). Analytical solutions to one-dimensional advection–diffusion equation with variable coefficients in semi-infinite media. *Journal of hydrology*, 380(3-4), 330-337.
20. Kumar, P., & Sudheendra, S. (2018). Mathematical solution of transport of pollutant in unsaturated porous media with retardation factor. *International Journal of Applied Engineering Research*, 13(1), 100-104.
21. Mashhadgarne, N., Mazaheri, M., & Mohammad, V.S.J. (2017). Analytical solutions to one-and two-dimensional Advection-Dispersion-Reaction equation with arbitrary source term time pattern using Green's function method. *Sharif Journal of Civil Engineering*, 33(2), 77-91. (in Persian)
22. Mazaheri, M., MV Samani, J., & MV Samani, H. (2013). Analytical solution to one-dimensional advection-diffusion equation with several point sources through arbitrary time-dependent emission rate patterns. *Journal of Agricultural Science and Technology*, 15(6), 1231-1245.
23. Murli, A., & Rizzardi, M. (1990). Algorithm 682: Talbot's method of the Laplace inversion problems. *ACM Transactions on Mathematical Software (TOMS)*, 16(2), 158-168.
24. Najafzadeh, M., Noori, R., Afroozi, D., Ghiasi, B., Hosseini-Moghari, S.-M., Mirchi, A., Haghghi, A.T., & Kløve, B. (2021). A comprehensive uncertainty analysis of model-estimated longitudinal and lateral dispersion coefficients in open channels. *Journal of hydrology*, 603, 126850.
25. Noori, R., Ghiasi, B., Sheikhan, H., & Adamowski, J. F. (2017). Estimation of the dispersion coefficient in natural rivers using a granular computing model. *Journal of Hydraulic Engineering*, 143(5), 04017001.
26. Noori, R., Mirchi, A., Hooshyaripor, F., Bhattarai, R., Haghghi, A. T., & Kløve, B. (2021). Reliability of functional forms for calculation of longitudinal dispersion coefficient in rivers. *Science of The Total Environment*, 791, 148394.
27. Park, E., & Zhan, H. (2001). Analytical solutions of contaminant transport from finite one-, two-, and three-dimensional sources in a finite-thickness aquifer. *Journal of Contaminant Hydrology*, 53(1-2), 41-61.
28. Sanskrityayn, A., Singh, V. P., Bharati, V. K., & Kumar, N. (2018). Analytical solution of two-dimensional advection–dispersion equation with spatio-temporal coefficients for point sources in an infinite medium using Green's function method. *Environmental Fluid Mechanics*, 18(3), 739-757.
29. Sanskrityayn, A., Suk, H., Chen, J.-S., & Park, E. (2021). Generalized Analytical Solutions of The Advection-Dispersion Equation with Variable Flow and Transport Coefficients. *Sustainability*, 13(14), 7796.
30. Sanskrityayn, A., Suk, H., & Kumar, N. (2017). Analytical solutions for solute transport in groundwater and riverine flow using Green's Function Method and pertinent coordinate transformation method. *Journal of hydrology*, 547, 517-533.
31. Shukla, V. (2002). Analytical solutions for unsteady transport dispersion of nonconservative pollutant with time-dependent periodic waste discharge concentration. *Journal of Hydraulic Engineering*, 128(9), 866-869.

32. Simpson, M. J., & Ellery, A. J. (2014). Exact series solutions of reactive transport models with general initial conditions. *Journal of hydrology*, 513, 7-12.
33. Smits, A.J.M., Nienhuis, P.H., & Leuven, R.S.E.W. (2000). New approaches to river management. *Environmental Management and Health*, 11(5), 474-475.
34. Stehfest, H. (1970). Algorithm 368: Numerical inversion of Laplace transforms [D5]. *Communications of the ACM*, 13(1), 47-49.
35. Villinger, H. (1985). Solving cylindrical geothermal problems using the Gaver-Stehfest inverse Laplace transform. *Geophysics*, 50(10), 1581-1587.
36. Wang, H., & Wu, H. (2009). Analytical solutions of three-dimensional contaminant transport in uniform flow field in porous media: A library. *Frontiers of Environmental Science & Engineering in China*, 3(1), 112-128.
37. Williams, G.P., & Tomasko, D. (2008). Analytical solution to the advective-dispersive equation with a decaying source and contaminant. *Journal of Hydrologic Engineering*, 13(12), 1193-1196.
38. Yang, S., Zhou, H., Zhang, S., & Wang, L. (2019). Analytical solutions of advective-dispersive transport in porous media involving conformable derivative. *Applied Mathematics Letters*, 92, 85-92.
39. Yu, F., Adrian, D., & Singh, V. (1991). Modeling river quality by the superposition method. *Journal of Environmental Systems*, 20(4), 1-16.